

УДК 532.5.032

СТАЦИОНАРНЫЕ РЕЖИМЫ И ПАРАМЕТРИЗАЦИЯ ЭКМАНОВСКОГО ТРЕНИЯ В КАРМАНОВСКОЙ МОДЕЛИ ТЕЧЕНИЯ ВЯЗКОЙ ЖИДКОСТИ, ВОЗБУЖДАЕМОГО ВНЕШНЕЙ ВИХРЕВОЙ ОБЪЕМНОЙ СИЛОЙ

© 2024 г. С. В. Кострыкин^{а, *}, И. Г. Якушкин^б

^аИнститут вычислительной математики им. Г.И. Марчука РАН, ул. Губкина, 8, Москва, 119333 Россия

^бИнститут физик и атмосферы им. А.М. Обухова РАН, Пыжевский пер., 3, Москва 119017 Россия

*e-mail: kostr@mail.ru

Поступила в редакцию 29.09.2023 г.

После доработки 25.11.2023 г.

Принята к публикации 28.02.2024 г.

С помощью численного моделирования кармановской модели течения вязкой жидкости под действием внешней вихревой объемной силы, выделены и подробно исследованы два различных стационарных режима – с малой (режим Бэтчелора) и существенной (режим Стюардсона) вторичной циркуляцией. Построена диаграмма существования стационарных режимов в зависимости от основных параметров течения – числа Россби и малого числа Экмана. Для течения, затухающего к стационарному течению в режиме Бэтчелора, предложена теоретическая модель на основе которой получено стационарное решение задачи, а также параметризация коэффициента экмановского трения, скорости экмановской накачки, стационарного давления через средние характеристики течения. Предложена параметризация стационарного течения в режиме Стюардсона и проведено численное исследование декремента затухания течения к стационарному состоянию. Показано хорошее согласие теоретических результатов с численными расчетами.

Ключевые слова: экмановский погранслои, параметризация экмановского трения, задача Кармана
DOI: 10.31857/S0002351524020015 **EDN:** KRECOU

ВВЕДЕНИЕ

Проблема влияния внешнего и внутреннего трения на течения в тонких слоях вязкой несжимаемой жидкости представляет значительный интерес в связи с многочисленными приложениями к задачам гидродинамики и геофизики [Гринспен, 1975]. В качестве примера можно привести пограничные слои в атмосфере, которые являются источником развития движений воздуха, формирующих погоду. Аналогичные по своей постановке задачи возникают и в таких научных направлениях, как астрофизика и магнитогидродинамика [Незлин и др., 1990; Гурбатов и др., 1983].

Для описания крупномасштабных движений в настоящее время общепринятой является концепция линейного трения, восходящая к Чандрасекару [Педлоски, 1984; Вайнштейн и др., 1989; Горькаый и др., 1994]. Это приближение справедливо для течений на мелкой воде при малых

числах Рейнольдса. Подробное лабораторное и теоретическое исследование подобного течения вязкой жидкости было проведено Ф.В. Должанским и коллективом сотрудников ИФА им. А.М. Обухова РАН [Kostrykin et al., 2014; Должанский, 2011, 1999; Кострыкин и др., 2011; Пономарев и др., 2009]. При этом было изучено влияние внешнего трения на параметры и устойчивость течений в тонких слоях вращающейся жидкости. В работах Ф.В. Должанского с соавторами на основе анализа вертикальной структуры течения вязкой жидкости в линейном приближении было получено выражение для коэффициента линейного трения и указаны пределы применимости этого приближения в зависимости от чисел Рейнольдса и Россби [Должанский, 1999; Должанский и др., 1990].

При больших числах Рейнольдса и Россби приближение линейного трения является недостаточным. На это было указано в работах [Kostrykin et al., 2014; Кострыкин и др., 2011; По-

номарев и др., 2009] в связи с анализом данных лабораторных экспериментов с вихревыми течениями во вращающемся сосуде, который показал различное влияние придонного трения на вихри с циклоническим и антициклоническим вращением.

Течение жидкости в тонком слое над вращающимся дном может рассматриваться как квазидвумерное [Гринспен, 1975]. Такое течение однородной несжимаемой жидкости может быть представлено в виде суммы двумерно-вихревого и двумерно-потенциального течений. При этом скорость в горизонтальной плоскости U имеет вид

$$U = k \times \nabla \Psi + \nabla \Phi, \quad (1)$$

где $\nabla = i\partial_x + j\partial_y$, $\Delta = \partial_{xx} + \partial_{yy}$, i, j, k – единичные орты декартовой системы координат, $\omega = \Delta \Psi$, $\delta = \Delta \Phi$ – вертикальная компонента относительной завихренности и дивергенция горизонтальной скорости соответственно. Вертикальная скорость определяется из уравнения неразрывности: $W_z = -\Delta \Phi$.

Уравнение для горизонтальной скорости однородной вязкой жидкости в слое толщиной h , расположенном на вращающемся с частотой Ω основании, записывается в виде

$$\frac{dU}{dt} + 2\Omega k \times U + WU_z = -\frac{1}{\rho_0} \nabla p + \nu U_{zz} + \frac{F_{out}}{\rho_0}, \quad (2)$$

$$U(0, t) = 0, U_z(h, t) = 0, W(0, t) = W(h, t) = 0, \quad (3)$$

где Ω – угловая скорость вращения основания, p – давление, ρ_0 – постоянная плотность, ν – коэффициент кинематической вязкости, $F_{out} = k \times \nabla q(x, y, t)$ – внешняя сила, создающая вихрь с вертикальной осью, q – функция тока внешней силы. Определим следующие параметры, которые мы будем использовать в дальнейшем: толщину экмановского погранслоя – $\delta_E = (\nu/\Omega)^{1/2}$ и число Экмана (обратное число Рейнольдса) – $E = \text{Re}^{-1} = (\delta_E/h)^2$.

Внешняя вихревая сила будет создавать первичное течение в виде вихря с вертикальной осью. В то же время граничные условия (3) требуют учета вторичного течения в виде вихря с горизонтальной осью. Связь между двумя вихрями

определяется течением в пограничных вязких слоях. Как показывают лабораторные и численные исследования, при этом могут реализовываться различные режимы течений, характеризующиеся разным направлением вращения слоев жидкости [Kostykin et al., 2014; Кострыкин и др., 2011; Кострыкин, 2018].

Описание этих режимов в рамках чисто двумерной задачи может быть получено, если нам известна связь давления с параметрами поверхностного или осредненного по глубине течения. Такое представление давления даст нам параметризацию исходной задачи, т.е. сокращение первоначально заданных степеней свободы, и позволит определить коэффициент экмановского трения. Если предположить, что числа Экмана и Россби малы, а вертикальный профиль скорости соответствует градиентному экмановскому течению, то после осреднения по вертикали можно получить значение для коэффициента линейного трения [Должанский и др., 1900]

$$\lambda = \nu / (h\delta_E) = E^{1/2} \Omega. \quad (4)$$

Выражение для коэффициента экмановского трения при произвольных значениях числа Экмана получено в работе [Козлов и др., 1992]. Кроме того, оставаясь в рамках экмановского профиля скорости в работах [Пермяков и др., 2018; Калашник и др., 2014], получены нелинейные поправки к уравнению квазигеострофического вихря, связанные с трением жидкости о дно. Также в работах [Pedlosky, 2008; Benthuisen et al., 2012] с помощью разложения по малому параметру Россби получены поправки для толщины и скорости накачки экмановского слоя для геострофического течения.

При больших значениях числа Россби и малых числах Экмана подход, основанный на линеаризации исходной задачи, оказывается недостаточным. В этом случае естественно искать решение в виде суммы интенсивного невязкого вихря и вязкой компоненты малой амплитуды, обеспечивающей выполнение граничных условий и ограничивающей интенсивность главного вихря.

Для определения давления через компоненты среднего течения необходимо первоначальное

упрощение исходной задачи. Таким упрощением является обращение к модифицированному течению Кармана [Кострыкин и др., 2011], содержащему зависимость течения только от двух основных параметров — чисел Экмана и Россби. Кроме того, в данной модели предполагается осесимметричное течение и линейная зависимость горизонтальной скорости от радиальной координаты, что с достаточно хорошей точностью выполняется в центральной части квазидвумерных вихрей согласно некоторыми теоретическим представлениям, а также данным лабораторных и численных экспериментов [Parfenyev et al., 2012; Орлов и др., 2018].

Аналізу различных стационарных режимов течения в рамках этой задачи были посвящены работы [Kostykin et al., 2014; Кострыкин и др., 2011; Кострыкин, 2018]. Настоящая статья предлагает общий подход к вычислению нелинейного коэффициента трения хотя бы для некоторых режимов вынужденного стационарного течения. Такой подход позволяет объяснить существование разных стационарных режимов течения и допускает обобщение на более широкий класс задач.

МОДЕЛЬ КАРМАНОВСКОГО ТЕЧЕНИЯ С ВИХРЕВОЙ ОБЪЕМНОЙ ВЫНУЖДАЮЩЕЙ СИЛОЙ

В классической постановке модель Кармана используется для описания течения жидкости над вращающимся основанием для слоя бесконечной глубины или течения между двумя вращающимися дисками [Holodniok et al., 1981; Zandbergen, 1980; Чефранов, 2016; Hewitt et al., 2009]. В нашем случае мы используем модифицированную постановку, в которой, во-первых, рассматривается слой жидкости со свободной границей и, во-вторых, течение возбуждается постоянной вихревой силой. Данная постановка оказывается полезной при анализе результатов лабораторных экспериментов по генерации течений магнитогидродинамическим методом, а также их затуханию [Kostykin et al., 2014; Кострыкин и др., 2011]. Важное преимущество кармановской модели по сравнению с большинством других модельных течений состоит в том, что ее решение является точным решением 3-мерных уравнений Навье—Стокса и при этом

не требуется больших вычислительных затрат для ее численной реализации.

Обратимся к модифицированной задаче Кармана для трехмерного течения, развивающегося под действием вихревой силы в слое глубиной h , расположенном над вращающейся с угловой скоростью Ω бесконечной плоскостью. В цилиндрической системе координат (r, φ, z) предполагается отсутствие зависимости скорости от азимутального угла, а также линейная (квадратичная) зависимость от радиальной координаты для горизонтальных компонент скорости (давления и функции тока внешней вихревой силы). Уравнения движения записываются для комплекснозначной функции: $K(z) = G(z) + iF(z)$, зависящей только от вертикальной координаты, где $2G$ и $2F$ — вертикальная компонента завихренности и дивергенция горизонтальной скорости, нормированные на характерную угловую скорость вращения Ω_r . Также время и вертикальная координата нормируются на характерный временной и пространственный масштабы $1/\Omega_r$ и h соответственно.

В нестационарном режиме K удовлетворяет уравнению, следующему из (2)

$$K_t = EK_{zz} - HK_z + i(K^2 - K_0^2), \quad (5)$$

$$K_0^2 = -P + iQ,$$

где $E = 1/\text{Re} = \nu/(\Omega_r h^2)$ — параметр Экмана,

$P = -1/(\rho_0 \Omega_r^2) \Delta p$ — константа, характеризующая давление,

$Q = 1/(\rho_0 \Omega_r^2) \Delta q$ — константа, характеризующая внешнюю вихревую силу,

$H = W/(\Omega_r h)$ — безразмерная вертикальная скорость, удовлетворяющая условию

$$H_z = -2F. \quad (6)$$

Граничные условия имеют вид:

$$\begin{aligned} K(z=0, t) = S \equiv \frac{\Omega}{\Omega_r}, H(z=0, t) = 0, \\ K_z(z=1, t) = 0, H(z=1, t) = 0. \end{aligned} \quad (7)$$

Также для нахождения эволюции по времени решения (5)–(7) задаются соответствующие начальные профили $G(z, 0)$ и $F(z, 0)$.

Анализируя уравнения (5)–(7), можно заметить, что их решение зависит только от двух из трех исходных параметров задачи (E, Q, S) , в качестве которых можно, например, выбрать пару $(Q/E^2, S/E)$. Это становится очевидным, если рассмотреть замену переменных

$$\begin{aligned}\tilde{K} &= K/E, \tilde{H} = H/E, \tilde{S} = S/E, \tilde{P} = \\ &= P/E^2, \tilde{Q} = Q/E^2.\end{aligned}$$

Здесь \tilde{K} явно не зависит от числа Экмана, а только через \tilde{Q}, \tilde{S} .

АНАЛИЗ ЧИСЛЕННОГО РЕШЕНИЯ

Для численного решения системы (5)–(7) используется метод, основанный на схеме “кабаре” для описания адвективных слагаемых и полунейный метод для описания диффузионных слагаемых [Головизнин и др., 2013]. Решается нестационарная задача с начальным состоянием вида

$$G(z, 0) = S + A \sin(\pi z / 2), F(z, 0) = 0.$$

Для достаточно больших моментов времени ($t > 50$) численное решение выходит на стационарный режим и предполагается, что такое установившееся решение является стационарным решением системы (5)–(7).

Число узлов сетки по вертикали выбирается достаточно большим ($N = 100$), так, чтобы численное решение было устойчивым и не зависело от разрешения сетки. Как показали расчеты [Kostyrykin et al., 2014], зависимость стационарного решения задачи от параметра начального рас-

пределения A наблюдается только при малых отрицательных значениях параметра Q , и при этом эта зависимость существенно не влияет на полученные далее выводы.

В задаче с вихревым воздействием на поверхности существуют два режима стационарных течений [Костыркин, 2018]. Характерными особенностями этих двух режимов являются: значение стационарного давления, относительная величина вторичной циркуляции, количество ячеек вертикальной циркуляции. В одном случае – давление отрицательное и большое по величине, вторичная циркуляция мала, вертикальная ячейка циркуляции возможна только одна. В другом режиме – давление слабо отрицательное, вторичная циркуляция сравнима с горизонтальной и возможно образование двух ячеек циркуляции в вертикальной плоскости.

Как мы видим из рис. 1а, на котором изображено стационарное давление в зависимости от параметра Россби, и в нашем случае стационарное течение имеет два режима. При положительных и больших отрицательных числах Россби – $Ro_q = \text{sign}Q|Q|^{1/2}$ давление велико и сильно зависит от этого числа. При малых отрицательных Ro_q давление близко к нулю. Далее будем называть такие режимы режимами Бэтчелора и Стюартсона соответственно, поскольку похожие стационарные режимы были указаны Бэтчелором [Batchelor, 1951] и Стюартсоном [Stewartson, 1953] для задачи о кармановском течении между двумя дисками.

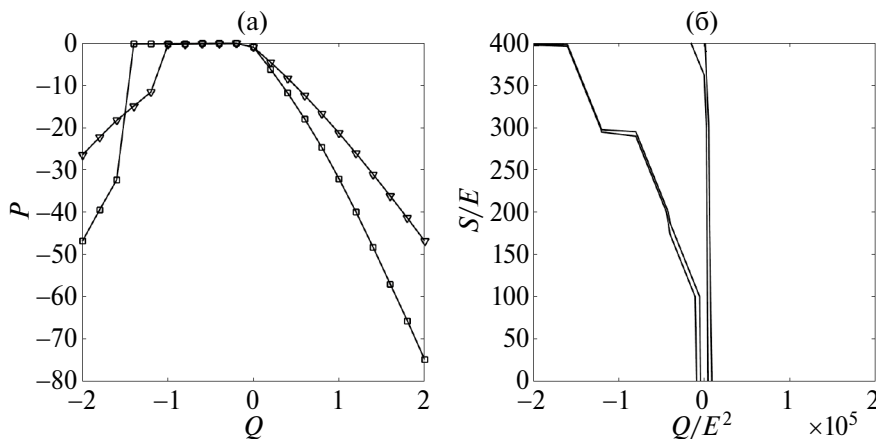


Рис. 1. Результаты численной модели. (а) Зависимость давления от параметра Q при разных числах Экмана. $E = 1/100$ – квадраты, $E = 1/200$ – крестики ($S = 1, A = 0$). (б) Диаграмма режимов стационарного течения. Проведены изолинии $P/E^2 = -10$ и $P/E^2 = -20$ на плоскости параметров $(Q/E^2, S/E)$ ($A = 0$).

Диаграмма режимов стационарного течения на плоскости параметров $(Q/E^2, S/E)$ представлена на рис. 1б. Фактически там изображены изолинии нормированного давления P/E^2 . Область малого отрицательного давления, соответствующая режиму Стюартсона, существует при достаточно больших значениях S/E и находится левее оси $Q = 0$. Вне этой области наблюдается режим Бэтчелора. Как показано в работе [Кострыкин и др., 2011], при $Q = 0$ режим Стюартсона наблюдается в численных расчетах при $S/E \geq 46$.

Из рис. 2, 3 следует, что профили стационарной скорости сильно зависят от числа Экмана. В режиме Стюартсона при уменьшении E вязкий слой от-

рывается от границы, что приводит к образованию локального вихря с горизонтальной осью, интенсивность которого может быть сравнима по величине с интенсивностью вихря с вертикальной осью. Очевидно, глубины, где $H = 0$, могут являться областями с сильной диссипацией. Расположение этих областей определяет структуру течения, от которой зависит коэффициент трения для поверхностного или среднего по глубине течения.

РЕЖИМ БЭТЧЕЛОРА

Теоретическое описание стационарного состояния

В режиме Бэтчелора центральное течение имеет простейшую структуру в виде интенсив-

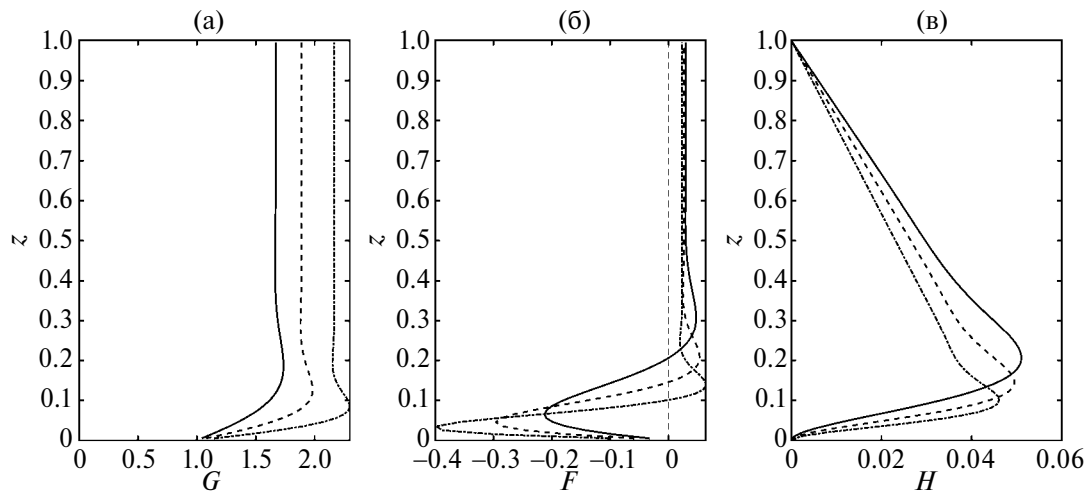


Рис. 2. Профили стационарного численного решения при разных значениях числа Экмана ($E = 1/100$ – сплошная линия, $E = 1/200$ – штриховая, $E = 1/400$ – штрих-пунктирная). $Q = 0.1, S = 1$. Вертикальная тонкая пунктирная линия – нулевое значение.

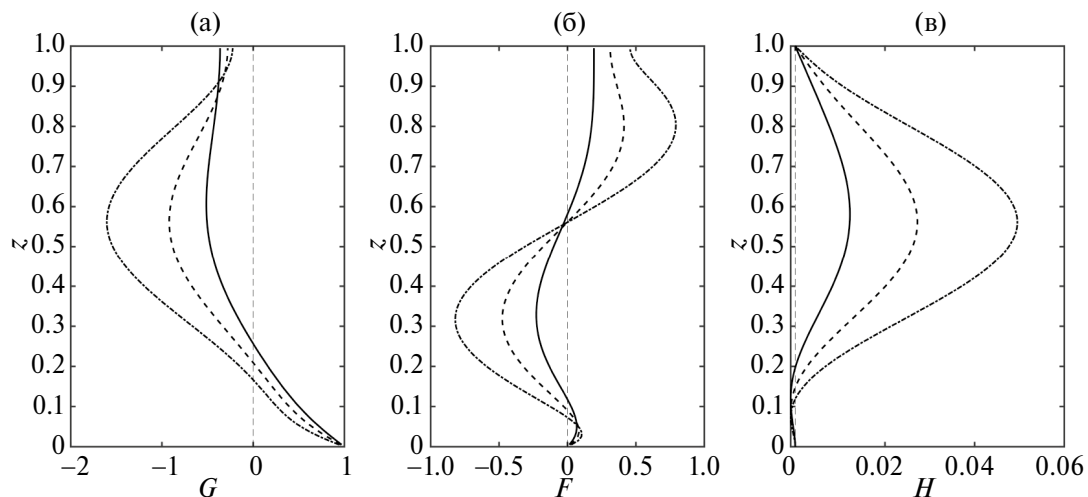


Рис. 3. То же, что на рис. 2, только при $Q = -0.1, S = 1$.

ного вихря с вертикальной осью и слабого вторичного течения. При малых числах Экмана пограничный слой занимает малую часть слоя жидкости и расположен около дна. Решение (5)–(7) представимо в виде

$$K(z) = K_0 + k(z), k(z) = (S - K_0)e^{\lambda z}, \quad (8)$$

где

$$K_0^2 = -P + iQ, \quad -\text{Re}\lambda \gg 1. \quad (9)$$

а k удовлетворяет уравнению

$$Ek_{zz} - Hk_z + i(2K_0 + k)k = 0. \quad (10)$$

Его решение ищется при заданном давлении, которое затем определяется из условия $H(1) = 0$.

Из (8), (10) следует, что

$$\lambda_{1,2} = H/2E \pm \left[H^2/4E^2 - i(2K_0 + k)/E \right]^{1/2}. \quad (11)$$

Предположим, что $\lambda_{1,2}(z) \approx \lambda_{1,2}(0)$. Вблизи нижней границы можно считать $H \approx 0, k \approx S - K_0$, тогда затухающему с высотой стационарному профилю согласно (11) соответствует

$$\lambda = -\left(-i \frac{S + K_0}{E} \right)^{1/2}. \quad (12)$$

Генерируемая пограничным слоем вертикальная скорость имеет вид

$$H = -2 \left(F_0 z - \text{Im} \frac{S - K_0}{\lambda} (1 - e^{\lambda z}) \right). \quad (13)$$

Условие $H(1) = 0$ можно записать в виде

$$F_0 - (S - G_0) \text{Im} \frac{1}{\lambda} \approx 0, \quad (14)$$

откуда с помощью (12) можно найти связь между G_0, F_0 и P

$$E^2(S + G_0)^2(S - G_0)^4 = 4F_0^3 \left(F_0^2 + (S + G_0)^2 \right) \times \left(F_0^3 + F_0(S + G_0)^2 + E(S - G_0)^2 \right). \quad (15)$$

Из (9) следуют другие два уравнения, замыкающие систему

$$2F_0G_0 = Q, \quad P = -G_0^2 + F_0^2. \quad (16)$$

Решения уравнения (15) представляют собой корни многочлена 8-й степени от переменных G_0, F_0 и лежат на двух ветвях (нижней и верхней), проходящих через точку $(G_0 = S, F_0 = 0)$ (рис. 4). Можно определить, какие ветви решения уравнения (15) реализуются в численной модели, если построить стационарное решение задачи (5)–(7) на плоскости (G_0, F_0) . При построении результатов численного решения предполагается, что $G_0 \approx G(1), F_0 \approx F(1)$, поскольку $|k(1)| \ll |K_0|$ согласно (8), (9). Из рис. 4 мы видим, что в численном решении в режиме Бэтчелора реализуется верхняя ветвь аналитического решения.

Можно оценить величину максимальной вертикальной скорости, генерируемой погранслоем (скорость экмановской подкачки). Подставляя (12), (14) в (13) и пренебрегая первым слагаемым и экспоненциальным множителем во втором, получим

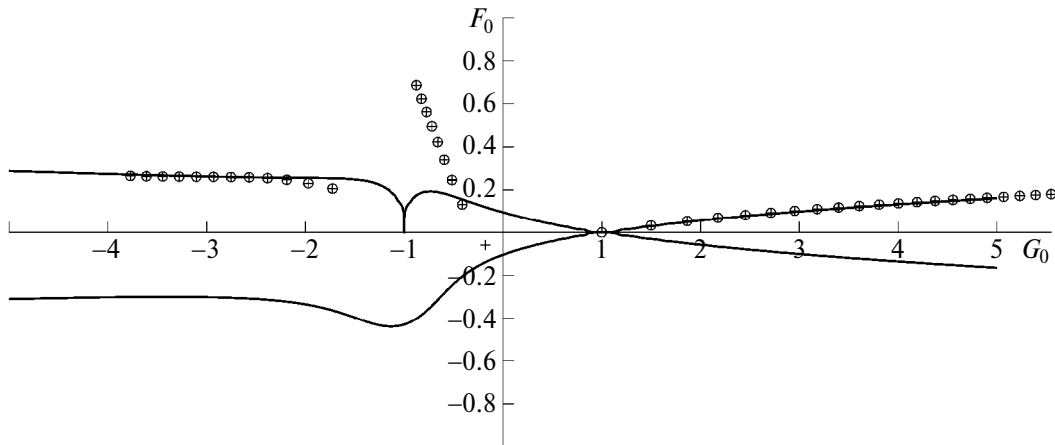


Рис. 4. Изолинии, соответствующие решению уравнения (15). Значки – точки параметрической кривой $(G(1, Q), F(1, Q))$, полученной по данным численной модели при $-2 \leq Q \leq 2$ и разных начальных профилях завихренности ($A = -2$ – кружки и $A = 0$ – плюсы). $E = 1/50, S = 1$.

$$H_{\max} \approx 2\text{Im}((S - G_0)/\lambda) = \quad (17)$$

$$= (2E)^{1/2} |S + G_0|^{-1/2} (G_0 - S) \text{sign}(S + G_0).$$

При малых числа Россби $G_0 - S \ll S$

$$H_{\max} \approx E^{1/2} S^{-1/2} (G_0 - S). \quad (18)$$

совпадает со скоростью экмановской накачки в линейной теории. При больших числа Россби $|G_0| \gg S$ выражение (17) примет вид

$$H_{\max} \approx (2E)^{1/2} |G_0|^{1/2} \text{sign}(G_0). \quad (19)$$

Из (17) можно сделать вывод, что отношение амплитуды вторичной циркуляции к амплитуде вертикальной завихренности $|H_{\max} / (G_0 - S)| \leq (2E)^{1/2} |S + G_0|^{-1/2}$. Поскольку в режиме Бэтчелора $S + G_0$ согласно численным расчетам не может быть малой величиной, то отношение $|H_{\max} / (G_0 - S)| \ll 1$. Следовательно, вторичная циркуляция в этом режиме всегда существенно слабее квазидвухмерного вихря.

Параметризация экмановского трения

Рассмотрим нестационарное решение задачи (5)–(7). Проинтегрировав уравнения (4) по глубине и учитывая граничные условия, получим

$$\langle K \rangle_t = -EK_z(0) - \langle 2FK \rangle + i(\langle K^2 \rangle - K_0^2), \quad (20)$$

Здесь $\langle \cdot \rangle$ означает оператор осреднения по глубине.

Предположим, что в режиме Бэтчелора нестационарное решение имеет такой же профиль, как и стационарное решение, но с коэффициентами, зависящими от времени

$$K(z, t) = K_0(t) + (S - K_0(t))e^{\lambda z}, \quad (21)$$

где λ определяется по формуле (12).

$$\text{Учитывая, что } \left| \frac{S - K_0}{K_0 \lambda} \right| \ll 1, \text{ а значит } \langle K \rangle \approx K_0,$$

из (20) следует

$$K_{0t} = \lambda E (K_0 - S) - 2F_0 K_0. \quad (22)$$

Первое слагаемое в правой части уравнения (22) отвечает за придонное трение, второе – за перенос вторичным течением.

Если рассмотреть решение уравнения (22) вблизи стационарного состояния $\bar{K}_0, K_0 = \bar{K}_0 + k, |k| \ll |\bar{K}_0|, k = g + if$, то, пренебрегая квадратичными слагаемыми, получим

$$k_t = -\mu k - 2\bar{K}_0 f + C, \quad (23)$$

$$\text{где } \mu = 2\bar{F}_0 - \bar{\lambda} E \frac{S + 3\bar{K}_0}{2(S + \bar{K}_0)},$$

$$C = -\bar{\lambda} E (S - \bar{K}_0) - 2\bar{F}_0 \bar{K}_0, \quad (24)$$

$$\bar{\lambda} = - \left(\frac{-i(S + \bar{K}_0)}{E} \right)^{1/2}.$$

Поскольку стационарному состоянию системы отвечает решение $k = 0$, то из (23) следует, что $C = 0$. Если умножить (23) на k^* и сложить его с комплексно-сопряженным уравнением, то получим

$$|k|_t^2 = -2\text{Re}\mu |k|^2 - 4fE^{-1}(\bar{K}_0 k^*). \quad (25)$$

Далее, предполагая, что $k = k_0 e^{-\lambda_E t}$, где λ_E – действительное число, а $k(0) = k_0$ – начальное значение отклонения решения от стационарного, из (25) следует, что

$$\lambda_E = \text{Re}\mu + \frac{2f_0 E^{-1}(\bar{K}_0 k_0^*)}{|k_0|^2}. \quad (26)$$

Заметим, что вторым слагаемым в правой части (26) можно пренебречь, поскольку всегда можно выбрать начальное условие k_0 таким образом, чтобы второе слагаемое было существенно меньше первого, например, при $f_0/g_0 \ll 1$.

Таким образом, $\lambda_E = \text{Re}\mu$ является декрементом затухания завихренности, или, иначе говоря, коэффициентом экмановского трения.

Согласно (12) можно считать, что

$$\text{Re}\bar{\lambda} \approx -(2E)^{-1/2} |S + \bar{G}_0|^{1/2}.$$

$$\lambda_E \approx (2E)^{1/2} |S + \bar{G}_0|^{-1/2} \times \quad (27)$$

$$\times \text{sign}(S + \bar{G}_0) \left(\frac{7}{4} \bar{G}_0 - \frac{3}{4} S \right).$$

Из формулы (27) следует существование запретной зоны для значений параметра \bar{G}_0 в режиме Бэтчелора; $-S < \bar{G}_0 < 3/7S$, что подтверждается результатами численных расчетов с этой моделью. В соответствии с построенной теорией, декремент затухания для дивергенции также будет выражаться формулой (27). Далее для удобства обозначения отбросим черту над переменными G_0, F_0 .

Рассмотрим предельные случаи для формулы (27) при $S > 0$. При $|Q| \ll 1, |G_0 - S| \ll S, |F_0| \ll S$.

$$F_0 = \frac{E^{1/2}}{2S^{1/2}}(G_0 - S), \lambda_E \approx (ES)^{1/2} \left(1 + \frac{3}{2} \frac{G_0 - S}{S} \right)$$

или в размерном виде

$$\lambda_E = E^{1/2} \Omega \left(1 + \frac{3}{2} Ro \right), \quad (28)$$

где $Ro = G_0 - 1$ число Россби для стационарного течения.

Для $|Q| \gg 1$ согласно асимптотическим оценкам

$$F_0 \approx (E/2)^{1/2} |G_0|^{1/2}, \lambda_E = \frac{7}{2} (E/2)^{1/2} |G_0|^{1/2},$$

или в размерном виде

$$\lambda_E \approx \frac{7}{2^{3/2}} E^{1/2} \Omega |Ro|^{1/2}. \quad (29)$$

Коэффициент экмановского трения (28) при малых числах Россби отличается от коэффициента, полученного с помощью линейной теории (4), только при $Ro \neq 0$. В первом случае за счет добавки в правой части формулы (28) течение будет затухать

к стационарному циклоническому состоянию несколько быстрее, чем к антициклоническому. Следует отметить, что максимальное отличие в скорости диссипации для циклонов и антициклонов, вероятней всего, будет наблюдаться при числах Россби порядка -1 . Однако в этом случае течение находится в режиме Стюартсона, для которого построенная теория неприменима.

Сравнение декремента затухания завихренности, полученного по формуле (27) с аналогичным коэффициентом, полученным по результатам расчетов численной модели, приведено на рис. 5. Мы видим довольно хорошее согласие для этого параметра при всех значениях Q , соответствующих режиму Бэтчелора, как при малых числах Россби, так и при умеренных.

РЕЖИМ СТЮАРТСОНА

В режиме Бэтчелора амплитуда вихря с вертикальной осью определяется равновесием между сторонней силой и диссипацией в пограничном слое. Вместе с тем генерируемая в погранслое вертикальная скорость уравнивается слабым вторичным течением в центральной части. В режиме Стюартсона второе равновесие нарушается и возникает спиральный вихрь, когда вихри с вертикальной и горизонтальной осями уравнивают друг друга при малом давлении. Похожий режим был указан Стюартсоном на основе линейного решения задачи Кармана с двумя дисками, вращающимися с одинаковой угловой скоростью в противоположных направлениях [Stewartson, 1953]. Только в послед-

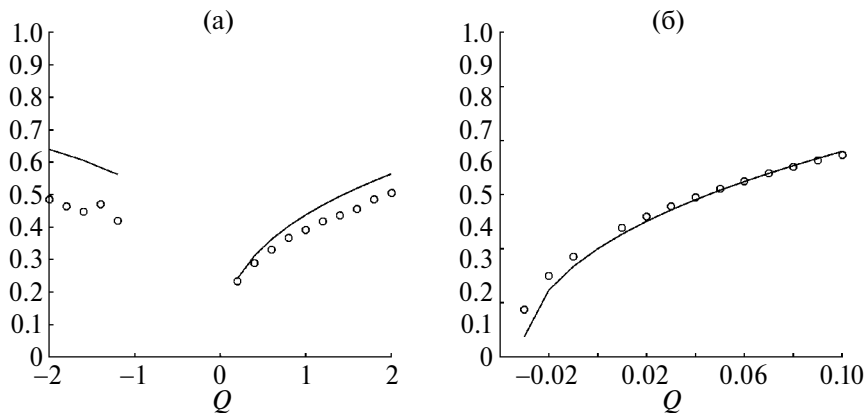


Рис. 5. Зависимость декремента затухания по данным численной (сплошная линия) и теоретической (кружки) модели от параметра Q : (а) $-2 \leq Q \leq 2$, (б) $-0.03 \leq Q \leq 0.1$. $E = 1/100, S = 1$.

нем случае жидкость вне пограничных слоев находится в покое, а в нашем случае, согласно проведенным численным экспериментам, в стационарном режиме присутствует значительная вторичная циркуляция в центральном слое жидкости и в обоих случаях давление мало. Отметим, что данный режим реализуется как для вынужденного течения, так и в случае свободно затухающего течения при сильно антициклонических начальных условиях [Kostykin et al., 2014].

Рассмотрим стационарное течение в центральном слое. Полное решение уравнения (5) для невязкого течения представимо в виде $K = U + V$, где $U = G^u + iF^u$ – свободное течение и $V = G^v + iF^v$ – течение, зависящее от величины внешней силы.

Запишем систему уравнений для компоненты течения, не зависящей от форсинга

$$-H^u U_z + i(U^2 + P) = 0, H_z^u = -2\text{Im}U.$$

Ее решение имеет вид

$$\begin{aligned} H^u &= A + B\cos(2m(z - z_0)), \\ U &= mH^u - \frac{i}{2}H_z^u = m\left(A + Be^{2i(z-z_0)}\right), \\ P &= m^2(B^2 - A^2) \end{aligned} \quad (30)$$

Оно зависит от четырех произвольных постоянных A, B, m, z_0 . При этом давление в этом режиме близко к нулю, и, кроме того, имеются два условия на вертикальную скорость на границах

$$H^u(z_{1,2}) \approx 0. \quad (31)$$

Как следует из (30), $P \approx 0$ при $B \approx A$, и, следовательно,

$$H^u = 2A\cos^2 m(z - z_0), U = mA\left(1 + e^{2i(z-z_0)}\right). \quad (32)$$

Если считать погранслои достаточно тонкими, то $z_1 \approx 0, z_2 \approx 1$, и условие (31) с учетом (32) запишется в виде

$$mz_0 = \pi/2 + \pi k, m(1 - z_0) = \pi/2 + \pi l,$$

или

$$m = n\pi, z_0 = \frac{1}{2n} + \frac{k}{n}, \quad (33)$$

где $k, n \neq 0$ – произвольные целые числа, $l = n - k - 1$.

Далее по данным численной модели можно построить отношение минимального значения завихренности к максимальному значению вертикальной скорости во всем слое, а также положение экстремумов функций $G(z), H(z)$ в зависимости от параметра Q (рис. 6).

Из рис. 6 следует, что $z_0 \approx 1/2, m \approx -\pi$. Этим значениям параметров, согласно (33), соответ-

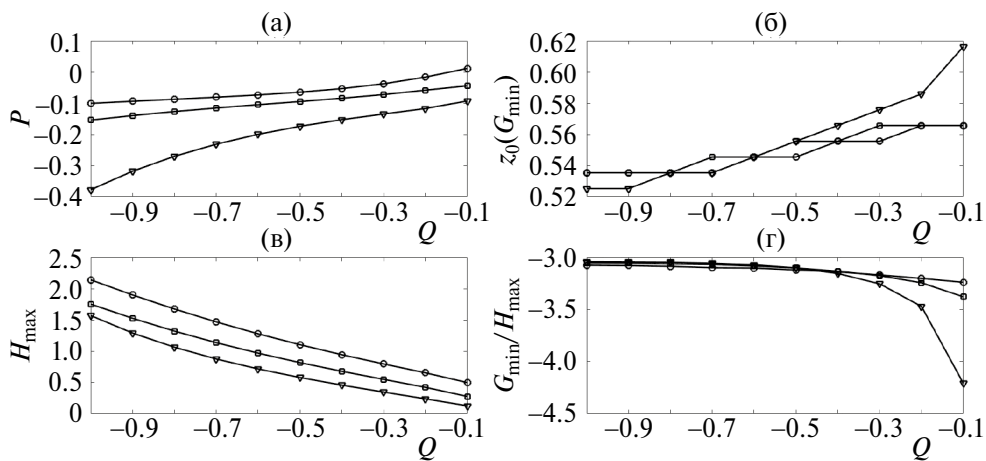


Рис. 6. Зависимость характеристик стационарного решения в режиме Стюартсона от параметров Экмана и величины форсинга Q : (а) координата максимума вертикальной скорости, (б) координата минимума завихренности, (в) максимальное значение $H(z)$, (г) отношение минимального значения $G(z)$ к максимальному значению $H(z)$. $E = 1/100$ – треугольники, $E = 1/200$ – квадраты, $E = 1/400$ – кружки.

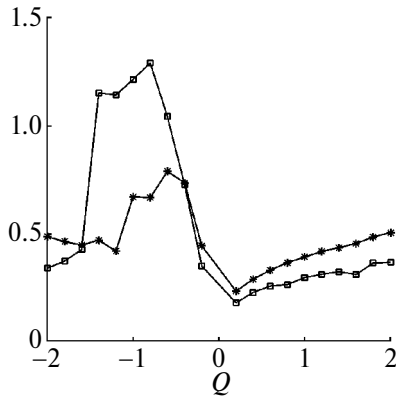


Рис. 7. Декремент затухания завихренности на поверхности по данным численной модели при разных значениях параметра Q . $E = 1/100$ (звездочки), $E = 1/200$ (квадраты).

ствуют $k = n = -1$. При этом, как показывают расчеты, значения $z_{0,m}$ слабо зависят от чисел Экмана и Россби, более существенным образом от них зависит параметр H_{\max} . Поскольку $|G_{\min}/H_{\max}| \approx \pi$, то вертикальная циркуляция составляет существенную долю от горизонтальной в данном режиме, в отличие от стационарного течения в режиме Бэтчелора. Из результатов численных экспериментов следует, что в режиме Стюартсона при достаточно малых числах Экмана и при умеренно отрицательных числах Россби в большей части слоя жидкости между точками z_1 и z_2 доминирует течение вида (32). В граничных точках z_i невязкое решение сшивается с вязким решением в пограничных слоях и появляется зависимость параметров невязкого течения от параметра Экмана и величины форсинга. Таким образом, получается стационарное решение (5)–(7), на основе которого в линейном приближении можно получить коэффициент экмановского трения аналогично процедуре, приведенной выше для режима Бэтчелора. Однако разработка данной параметризации требует дальнейшего теоретического исследования, и поэтому далее мы приведем только результаты численного моделирования.

На рис. 7 приведен декремент затухания завихренности на поверхности в зависимости от величины форсинга для всего рассматриваемого диапазона параметра $|Q| \leq 2$ при $E = 1/100$ и $E = 1/200$. Согласно рис. 1а при умеренно отрицательных значениях параметра Q наблюдается режим Стюартсона для стационарного течения.

И как следует из рис. 7, именно в данном диапазоне параметра Q декремент затухания завихренности имеет резкий максимум.

НЕКОТОРЫЕ ВЫВОДЫ И ОБОБЩЕНИЯ

В данной работе показано соответствие стационарных режимов течений задаче о ветровой циркуляции [Кострыкин, 2018] и задаче о течениях, возбуждаемых вихревой объемной силой. Проведено детальное численное исследование стационарных режимов и декремента затухания течения кармановской модели в широком диапазоне значений чисел Россби и при малых числах Экмана. На основе характерного поведения стационарного давления построена диаграмма режимов на плоскости параметров задачи. В отличие от более ранних работ авторов [Kostyrykin et al., 2014; Кострыкин и др., 2011] численное исследование стационарных режимов проводилось в более широком диапазоне параметров течения.

Построена теоретическая модель стационарного течения в режиме Бэтчелора, с помощью которой объясняются основные свойства стационарного течения. На основе этой модели получена параметризация коэффициента экмановского трения и других характеристик погранслоя (скорости экмановской накачки, стационарного давления) через средние характеристики течения. Для режима Стюартсона стационарный режим течения исследован численно и частично теоретически. В частности, построена параметризация стационарного течения и численно рассчитана скорость затухания течения в зависимости от параметров течения. При этом показано, что теоретические результаты хорошо согласуются с данными численной модели.

Приведенные выше результаты допускают обобщение. Простейшим обобщением является решение задачи Кармана с другими граничными условиями, а также задачи с зависимостью течения от азимутального угла. В общем случае можно предположить, что вертикальная структура устанавливается быстрее горизонтальной, и тогда параметры горизонтального течения можно считать заданными и получить для них соответствующее описание вертикальной структуры течения. Откуда следуют выражения

для давления и коэффициента экмановского трения, указывающего на связь циркуляции жидкости в двух перпендикулярных плоскостях в заданной точке.

В рамках задачи Кармана аналогичным образом может быть рассмотрена задача об установлении стационарного режима. Для заданного момента времени величина dK/dt рассматривается как входящая в K_0 (в P и Q). Уравнение стационарного режима при этом становится уравнением эволюции. В случае неоднородного распределения вертикальной завихренности в горизонтальной плоскости, определяя локально по пространству и времени вертикальную структуру, мы получаем систему уравнений для описания поверхностного (среднего) течения, представляющего собой сумму вихревой и потенциальной компонент. Дивергенция потенциальной компоненты скорости зависит от завихренности в фиксированной точке и в свою очередь определяет ее эволюцию. Очевидно, что потенциальная компонента приводит к сжатию (увеличению градиентов) завихренности там, где локально реализуется режим Стюартсона (в области слабых антициклонов). Именно там образуются внутренние (вертикальные) пограничные слои с дополнительной диссипацией. Течение в этих слоях создает нормальную к границе компоненту скорости, которая определяет коэффициент нелинейного трения, учитывающий внешнее и внутреннее трение. С помощью указанного подхода, вероятно, можно улучшить истолкование результатов лабораторных экспериментов с многовихревыми течениями.

СПИСОК ЛИТЕРАТУРЫ

- Вайнштейн С.И., Быков А.М., Топтыгин И.Н. Турбулентность, токовые слои и ударные волны в космической плазме. М.: Наука, 312 с.
- Головизнин В.М., Зайцев М.А., Карабасов С.А., Короткий И.А. Новые алгоритмы вычислительной гидродинамики для многопроцессорных вычислительных комплексов. М.: Изд-во Московского университета, 2013. 472 с.
- Горькавый Н.Н., Фридман А.А. Физика планетных колец. Небесная механика сплошной среды. М.: Наука, 1994. 349 с.
- Гринспен Х.П. Теория вращающейся жидкости. Л.: Гидрометеиздат, 1975. 304 с.
- Гурбатов С.Н., Саичев А.И., Якушкин И.Г. Нелинейные волны и одномерная турбулентность в средах без дисперсии // УФН. 1983. Т. 141. № 2. С. 221–255.
- Должанский Ф.В. Поперечная структура квазидвумерных геофизических и магнитогидродинамических течений // Изв. РАН. Физика атмосферы и океана. 1999. Т. 35. № 2. С. 163–173.
- Должанский Ф.В. Основы геофизической гидродинамики. М.: Физматгиз, 2011. 264 с.
- Должанский Ф.В., Крымов В.А., Манин Д.Ю. Устойчивость и вихревые структуры квазидвумерных сдвиговых течений // УФН. Т. 160. № 7. С. 1–47.
- Калашиник М.В., Чхетиани О.Г. О нелинейном затухании вихревых течений в вращающейся жидкости // ДАН. 2014. Т. 456. № 6. С. 717–722.
- Козлов В.Ф., Гурулев А.Ю. Об одном нелинейном механизме формирования циклон-антициклонной асимметрии в океане // Изв. РАН. Физика атмосферы и океана. 1992. Т. 28. № 4. С. 406–415.
- Кострыкин С.В. Режимы стационарных течений в задаче об интенсивной ветровой циркуляции в тонком слое вязкой вращающейся жидкости // ЖЭТФ. 2018. Т. 154. № 1. С. 193–205.
- Кострыкин С.В., Хапаев А.А., Якушкин И.Г. Вихревые структуры в квазидвумерных течениях вязкой вращающейся жидкости // ЖЭТФ. 2011. Т. 35. С. 395–407.
- Незлин М., Снежкин Е. Вихри Россби и спиральные структуры. М.: Наука, 1990. 240 с.
- Орлов А.В., Бражников М.Ю., Левченко А.А. Формирование крупномасштабного когерентного вихря в двумерной турбулентности // Письма в ЖЭТФ. 2018. Т. 107. № 3. С. 166–171.
- Педлоски Д. Геофизическая гидродинамика. Т. 1. М.: Мир, 1984. 398 с.
- Пермяков М.С., Семькин В.И., Маликова Н.П. Учет горизонтальной неоднородности планетарного пограничного слоя в модели двумерного движения жидкости // Изв. РАН. Физика атмосферы и океана. 2018. Т. 54. № 5. С. 497–504.
- Пономарев В.М., Хапаев А.А., Якушкин И.Г. Нелинейное экмановское трение и асимметрия циклонических и антициклонических когерентных структур в геофизических течениях // ДАН. 2009. Т. 425. № 6. С. 821–826.
- Чефранов С.Г. Механизм возникновения циклон-антициклонной вихревой асимметрии и линейное экмановское трение // ЖЭТФ. 2016. Т. 149. № 4. С. 876–887.
- Batchelor G.K. Note on a class of solutions of the navier-stokes equations representing steady rotationally-sym-

- metric flow // *Quart. Meeh. Appl. Math.* 1951. V. 4. P. 29–41.
- Benthuyssen J.A., Thomas L.N.* Asymmetries in vertical vorticity and vertical velocity arising during nonlinear homogeneous spindown // *Phys. Fluids*. 2012. Vol. 24. P. 076601.
- Hewitt R.E., Al-Azhari M.* Non-axisymmetric self-similar flow between two rotating disks // *J. Eng. Math.* 2009. V. 63. P. 259–277.
- Holodniok M., Kubicek M., Hlavacek V.* Computation of the flow between two rotating coaxial disks: multiplicity of steady-state solution // *J. Fluid. Meeh.* 1981. V. 108. P. 227–240.
- Kostrykin S.V., Khapaev A.A., Yakushkin I.G.* The influence of nonlinear bottom friction on the properties of decaying cyclonic and anticyclonic vortex structures in a shallow rotated fluid // *J. Fluid. Meeh.* 2014. V. 753. P. 217–241.
- Parfenyev V.M., Vergeles S.S.* Influence of Ekman friction on the velocity profile of a coherent vortex in a three-dimensional rotating turbulent flow // *Phys. Fluids*. 2021. V. 33. P. 115128.
- Pedlosky J.* On the weakly nonlinear Ekman layer: thickness and flux // *J. Phys. Ocean.* 2008. V. 38. P. 1334–1339.
- Stewartson K.* On the flow between two rotating coaxial disks // *Proc. Camb. Phil.* 1953. V. 49. P. 333–341.
- Zandbergen P.J.* New solutions of the Karman problem for rotating flows // *Lecture Notes in Mathematics*. Vol. 771. Berlin: Springer-Verlag, 1980. P. 563–581.

Stationary Regimes and Parametrization of Ekman Friction in the Karman Model of Flow Induced by External Vortical Body Force

S. V. Kostrykin^{1,*}, I. G. Yakushkin²

¹*Marchuk Institute of Numerical Mathematics of the Russian Academy of Sciences, Gubkin str., 8, Moscow, 119333 Russia*

²*Obukhov Institute of Atmospheric Physics of the Russian Academy of Sciences, Pyzhyovskiy per., 3, Moscow, 119017 Russia*

*e-mail: s_kostr@mail.ru

The detailed study of stationary regimes of Karman axisymmetric flow induced by external vortical body force is done. It is extracted two stationary regimes – with small (Batchelor regime) and with substantial (Stewartson regime) secondary circulation. The diagram of regimes existence is plotted in the space of flow parameters – Rossby and small Ekman numbers. For the flow decaying to the stationary flow in the Batchelor regime a theoretical model is proposed with which it was possible to derive a parametrization of linear friction coefficient, Ekman pumping velocity, stationary pressure from mean flow characteristics (vorticity and divergence). In the Stewartson regime a parameterization of the stationary flow is proposed and also numerically studied a decay rate. It is shown a good agreement between theoretical and numerical model results.

Keywords: Ekman boundary layer, Ekman friction parametrization, Karman problem